

- Sternentwicklung: Resultate

IX. 1

IX. Sterne: Entwicklung

Prinzip der Sternentwicklung:

- änderung der chem. Zusammensetzung (Profil!)
- durch die Kernprozesse [nukleare Zeitzäle!]
- chemische Entwicklung:
wenn kein nukleares Gleichgewicht:
Ausgleich der Energie-Bilanz durch Kontraktion/Expansion
[Helmholz - Kelvin - Zeitzäle]
- dynamische Entwicklung:
wenn kein nukleares Gleichgewicht:
Ausgleich der Energie-Bilanz durch Troposphäre

9-02

Weitere Entwicklungs-Effekte:

- änderung des chemischen Profils durch Mischung:
- in Konvektionszonen (siehe vorige Seite!)
- meridionale Störungen, Turbulenz durch Rotation
(in der Regel verhindert)
- ... bzw. Ent-Mischung (Diffusion): bei weißen Zwangen

Massenverlust ?

entscheidend für die Spätphasen der Entwicklung

- fiktiv: $\dot{M} = \dot{M}(L, R, M, \dots)$ wird gut bekannt,
 $\dot{L} = -\frac{dL}{dt} = \text{Massenverlustrate}$
- Theoretisch nur teilweise verstanden

- Massen - Austausch in engen Doppelstern-Systemen
[z.B.: Massentransfer in close binaries]
- ... viele, komplexe Varianten ...

Für typische Werte: $\rho = 10^{-23} \text{ g/cm}^3$, $T = 50 \text{ K}$

$$\rightarrow M_{\text{Jeans}} \approx 1000 M_{\odot} \quad (?)$$

wenn ρ ausreicht: M_{Jeans} kleiner \rightarrow Fragmentation

- Probleme: • Abstrahlung
- Drehimpuls - Abhängigkeit

Wenn optisch dicht geworden: (bei $\rho \approx 10^{-13} \text{ g cm}^{-3}$)
keine schnelle Abstrahlung mehr, T steigt

- \rightarrow hydrostatisches Gleichgewicht
- "Protostern"

voll konvektiv, d.h. am Hayashi-Limit

- Weiter: Kontraktion zur Hauptreihe (\mathcal{C}_{HR})
- dort: Zünden des H-Brennens
- [Mündel-Masse: 0,08 M_{\odot} , s.u. "Breite Zweige"]

Sternentwicklung

- durch Kollaps einer interstellaren Wolke ($\tau_{\text{FF}} !$)

Bedingung: gravitativ gebunden, d.h. $E_G > E_T$
 \rightarrow Mindestmasse (sog. Jeans - Kritise, M_{jeans})

$$E_G = E_T$$

$$\frac{GM^2}{R} = \frac{M_{\text{jeans}}}{4\pi r_H} \frac{3}{2} kT \quad (A \approx 2)$$

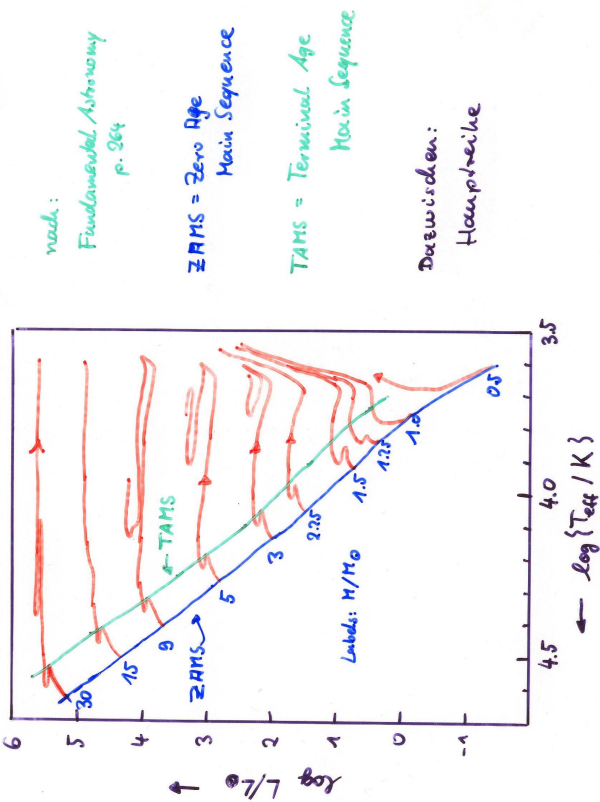
R durch ρ ausdrücken: $R \approx R^2 S$

$$GM_{\text{jeans}}^{\frac{3}{2}} S^{\frac{1}{2}} = \frac{3\pi kT}{8\pi r_H}$$

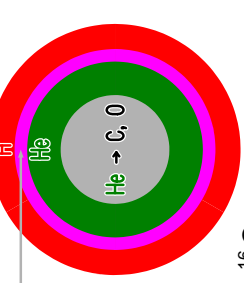
$$M_{\text{jeans}} = S^{-\frac{1}{2}} T^{\frac{3}{2}} \left(\frac{3\pi k}{G m_H} \right)^{\frac{1}{2}}$$

9-04

9-05 Hauptreichen - Entwicklung



9-07 Entwicklung der Sonne zum Roten Riesen

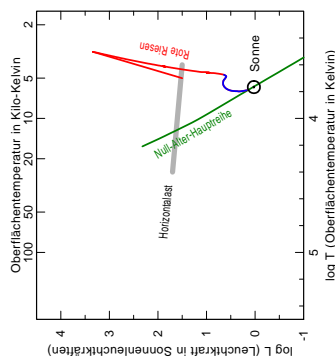


- Radius wächst auf über $1000 R_\odot$
 - Ende der Erde!
- Ansteigende Leuchtkraft
- niedrige Oberflächen-Temperatur („rot“)
- Wasserstoff-Schalenbrennen
- zentrales Helium-Brennen
- $^4\text{He} + ^4\text{He} \rightarrow ^{12}\text{C}$, teilweise $^4\text{He} + ^{12}\text{C} \rightarrow ^{16}\text{O}$

- Erheblicher Massenverlust durch "Sternwind" (wieviel?)

→ Abb.:

- Entwicklung eines Sterns von $1 M_\odot$ im Hertzsprung-Russell-Diagramm



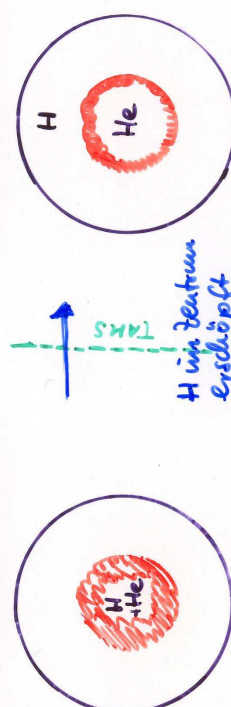
9-07

IX.4

Rote Riesen

dann:

wasserstoff - Schalenbrennen



Entwicklung: He-Kern kontinuierl. Hülle expandiert
("Spiegelung an der Schalenquelle")

→ Entwicklung bei $L \propto \text{const.}$ zum Hayashi-Limit

→ Rote Riesen

- wenn $M < 2.3 M_\odot$ ($1.5 M_\odot$?)
 - He-Kern ist entzartet → kein "thermos"?
 - He bündelt explosiv: "Helium-Flash"

jedoch: Explosion wird von Hülle gedämpft

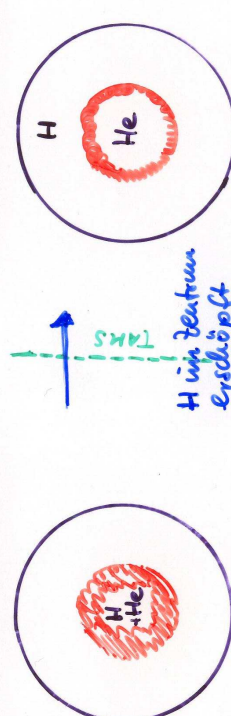
- Stern nach wilder Bewegung im HR-Diagramm
- danach: T höher, Entzündung aufgehoben.

9-06

IX.5

Hauptreihe:

zentrales Wasserstoffbrennen



- wenn $M > 2.3 M_\odot$ ($1.5 M_\odot$?)
 - He-Kern ist entzartet → kein "thermos"?
 - He bündelt explosiv: "Helium-Flash"

jedoch: Entwicklung wird von Hülle gedämpft

- Stern nach wilder Bewegung im HR-Diagramm
- danach: T höher, Entzündung aufgehoben.

Asymptotischer Riesenast

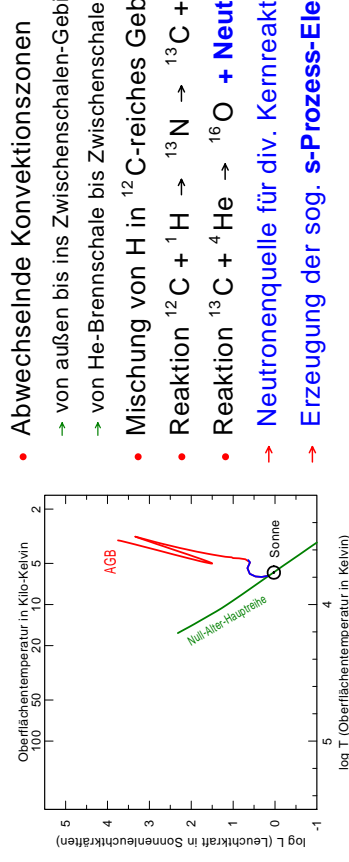
- Helium im Kern erschöpft
 - Zwei-Schalen-Brennen
 - Ansteigende Leuchtkraft
 - Instabilität: Thermische Pulse

Abwechselndes Brennen der beiden Schalen

- Abwechselnde Konvektionszonen

- von außen bis ins Zwischenschalen-Gebiet
- von He-Brennschale bis Zwischenschalen
- Mischung von H in ^{12}C -reiches Gebiet

- Reaktion $^{12}\text{C} + ^1\text{H} \rightarrow ^{13}\text{N} \rightarrow ^{13}\text{C} + e^+$
- Reaktion $^{13}\text{C} + ^4\text{He} \rightarrow ^{16}\text{O} + \text{Neutron}$
- Neutronenquelle für div. Kernreaktionen
- Erzeugung der sog. s-Prozess-Elemente



9-09

Bilder Planetarischer Nebel (HST)

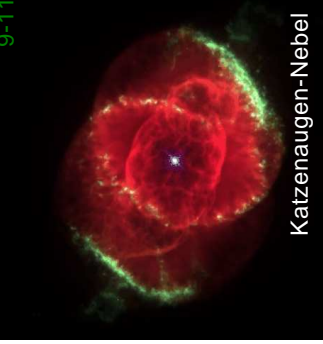


Hantel-Nebel



Katzenaugen-Nebel

9-11



Katzenaugen-Nebel

9-10

Bilder Planetarischer Nebel (HST)

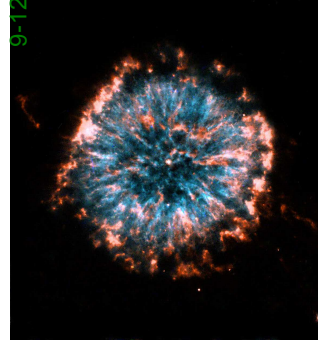


Katzenaugen-Nebel



Stundenglass-Nebel

9-12



Stundenglass-Nebel

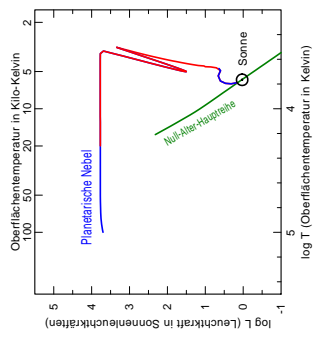
Stundenglass-Nebel

Ringnebel im der Leier, Aufn.: OST



Zentralsterne Planetarischer Nebel

- Massenverlust durch "Sternwind" im Riesen-Stadium
- Typische Restmasse: $0.6 M_\odot$
- Maximale Restmasse $1.4 M_\odot$ (für Anfangs-Massen bis $8 M_\odot$)
- Wenn Wasserstoff-Hülle (fast ?) vollständig verloren
 - schnelle Kontraktion (in 10 000 Jahren)
- Hohe Oberflächen-Temperatur, schneller Sternwind
- "Zusammenschieben" des früheren Winds zum *Planetarischen Nebel*
- UV-Strahlung bringt den Nebel zum Leuchten



Ringnebel im der Leier, Aufn.: OST

Weiße Zwerge

Beispiel: Sirius B (α CMA B)

Doppelstern (A und B)
Abstand 8 ... 32 AU
Umlaufzeit 50 Jahre

	Sirius A	Sirius B
Typ	A1	WD
Masse	$2.1 M_{\odot}$	$1.0 M_{\odot}$
Radius	$1.7 R_{\odot}$	$0.01 R_{\odot}$
T_{eff}	$10\,000\text{ K}$	$25\,000\text{ K}$
Leuchtkraft	$26 L_{\odot}$	$0.0002 L_{\odot}$

Abb.: Sirius A ist 10000 mal heller als Sirius B

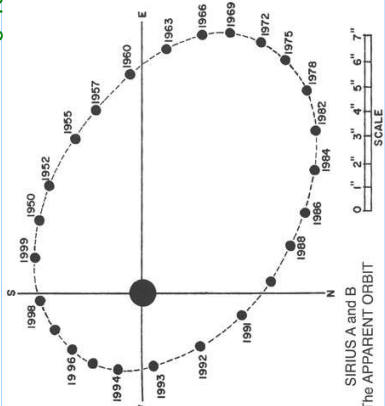
Ursache: 10000 mal kleinere Oberfläche

\rightarrow 100 mal kleinerer Durchmesser:
etwa die Größe der Erde!

- mittlere Dichte der Sonne: $\sim 1 \text{ g pro cm}^3$
- mittlere Dichte von Sirius B: $\sim 1 \text{ Tonne pro cm}^3$



9-13



- Verlöschen der Schalenquellen

Weiße Zwerge

- inertter CO - Kern, u.u. kristallisiert
- $R \approx 10^{-2} R_{\odot} \rightarrow \bar{g} \approx 10^5 \dots 10^6 \text{ g/cm}^3$
- Elektronen: existiert \rightarrow keine Kontraktion bei Abkühlung
- Atmosphäre: hohes $\log g \approx 7 \dots 8$
- \rightarrow restliches H (falls vorhanden) und He diffundieren nach oben
- Abblingen von Leuchtkraft und Temperatur
- erst schnell, dann immer langsamer:
- die ältesten weißen Zwergs (älter als Galaxis!) haben noch $T_{\text{eff}} \approx 4000 \text{ K}$

9-15

- Endstadien: a) Weiße Zwerge
- wenn verbliebene Kerne (größtendeils: CO-Kern)
- $M_{\text{CO}} \leq 1.4 M_{\odot}$ ("Kernausbleher - Kerze") :
- [Sterne bis zur Aufangmasse $M_{\text{mass}} \approx 8 M_{\odot}$ (?) erreichen dieses Limit (Massenverlust?); anschließend bevorzugte Endmasse: $M \approx 0.6 M_{\odot}$]

9-14

9-16

Homologe Kontraktion

Zwei Modelle (r_1, r_2) – gleiche Masse – sind homolog, wenn

$$\frac{r_1(M_r)}{R_1} = \frac{r_2(M_r)}{R_2} \quad \text{für alle } M_r \in (0, M)$$

Sei die Zustandsgleichung

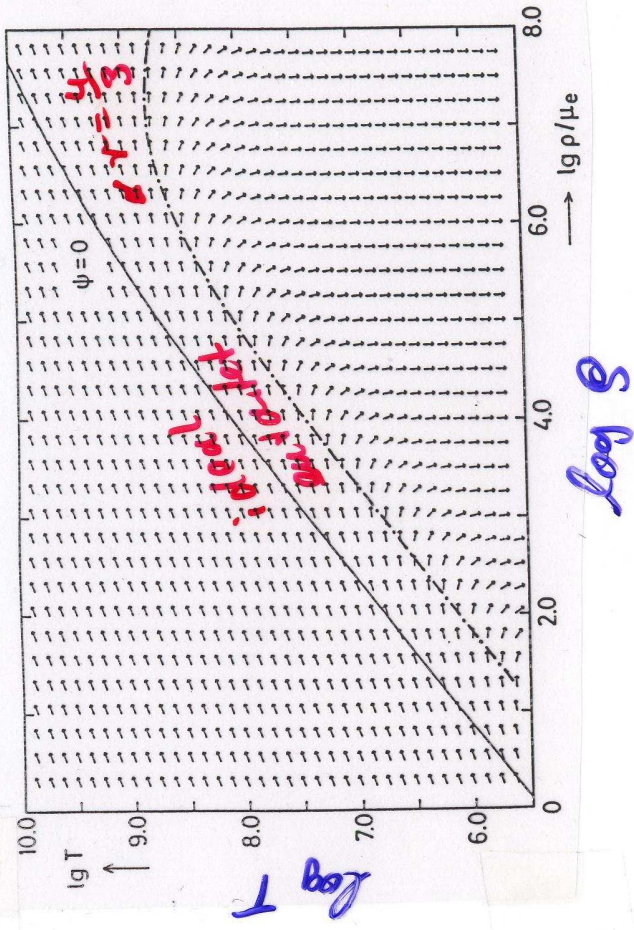
$$P \propto g^{\gamma} T^{\beta}$$

$\text{oder: } d(\ln P) = \gamma \cdot d(\ln g) + \beta \cdot d(\ln T)$

$$\text{oder: } \frac{P}{P_0} = T^{\frac{\gamma}{\beta}} \cdot \frac{g}{g_0}^{\frac{1}{\beta}}$$

- Kern bleibt inert, handelt sich leicht
- Zwei Schalenquellen \rightarrow Hülle kontrahiert ($\approx \text{const.}$)
- $\rightarrow T_{\text{eff}}$ steigt (bis 10000 K !?)
- \rightarrow ab $T_{\text{eff}} \approx 30000 \text{ K}$: UV-Strahlung des Sterns
- negt die frühe aufgetroffene Kälte zum Leuchten ab:
- "Planetarischer Nebel", "Zentralstern (CPN)"

9-19



9-17

$$\text{Homologie} \Rightarrow \frac{\dot{s}}{s} = -3 \frac{\dot{R}}{R} \quad \text{vgl. Volumen} \propto R^3$$

$$\frac{\dot{P}}{P} = -4 \frac{\dot{R}}{R} \quad \begin{aligned} &\text{vgl. hydrod. Druck} \\ &= \text{Kraft/Fläche} \end{aligned}$$

(Note: Kraft: Gravitation $\propto R^{-2}$, Fläche $\propto R^{-2}$)

$$\text{also: } \frac{\dot{P}}{P} = \frac{4}{3} \frac{\dot{g}}{g} \quad \text{oder} \quad \left(\frac{4}{3} - r \right) \frac{\dot{g}}{g} = s \cdot \frac{\dot{T}}{T}$$

Einfügen in Zustandsgleichung:

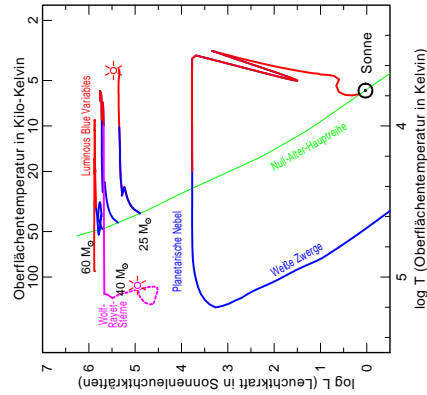
$$\left(\frac{4}{3} - r \right) \frac{\dot{g}}{g} = s \cdot \frac{\dot{T}}{T}$$

oder $\boxed{\left(\frac{4}{3} - r \right) d(\log g) = s \cdot d(\log T)}$

9-20

Das dramatische Schicksal der massereichen Sterne

- Hohe Leuchtkraft, kurze Lebensdauer
- Sternwinde entfernen Großteil der Masse (*Wolf-Rayet-Sterne*)
- z.T. episodischer Massenausschwung (sog. *Luminous Blue Variables*)
- Ausgeworfenes Material bildet Nebel



9-18

- Fall 1: Ideales Gas $r = 1$ $s = 1$

$$\Rightarrow \frac{d(\log T)}{d(\log g)} = \frac{1}{3}$$

- Fall 2: Entartung (nicht-relativistisch)

$$r = 1 \quad \frac{\psi \rightarrow \infty}{\psi} \quad \tau = \frac{5}{3}$$

$$s \propto \frac{1}{\psi} \quad \psi = \text{Entartungs-Parameter}$$

$$\Rightarrow \text{bei } r = \frac{4}{3} \quad \frac{d(\log T)}{d(\log g)} = 0 \quad \begin{aligned} &\text{waagerechte} \\ &\text{Linien endende!} \end{aligned}$$

$$\text{bei } \frac{4}{3} < r < \frac{5}{3} \Rightarrow \frac{d(\log T)}{d(\log g)} < 0 \quad \begin{aligned} &\text{Kompression} \\ &\text{küßt!} \end{aligned}$$

bei $\psi \rightarrow \infty : s \rightarrow 0 \Rightarrow d(\log g) = 0$
*seitwärts liegende Elemente
 (4. Rest-Druck der Zone)*

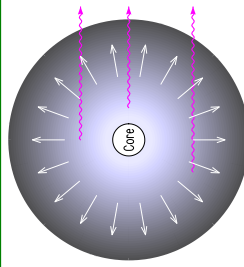
Sternwinde

Kontinuierliches, radiales Abströmen von Materie

Hohe Geschwindigkeiten: bis zu 3000 km/s ($\sim 0.01 c$)

Hohe Massenverlustraten \dot{M} [in Sonnenmassen pro Jahr] = M_{\odot}/Jahr

Typ	$\dot{M} [M_{\odot}/\text{Jahr}]$	Mechanismus
Sonne	10^{-14}	Korona
O, B	$10^{-7} \dots 10^{-5}$	Strahlungsdruck auf Spektrallinien
Wolf-Rayet	$10^{-5} \dots 10^{-4}$	Strahlungsdruck (?)
Rote Überriesen	10^{-4}	Strahlungsdruck auf Staub

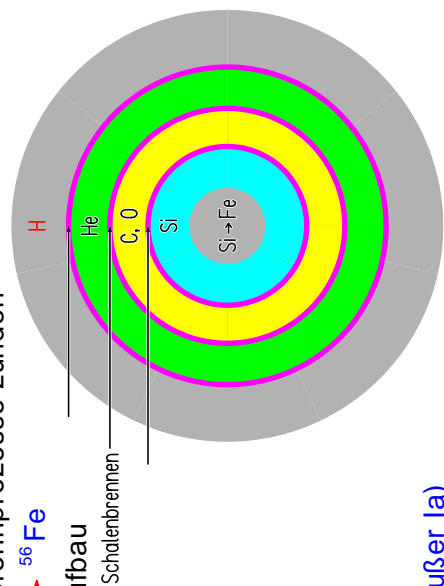


Entscheidende Bedeutung für :

- Sternentwicklung
- Endmasse < Anfangsmasse!
- Kosmisches Materiekreislauf

Endstadium massereicher Sterne ($> 8 M_{\odot}$)

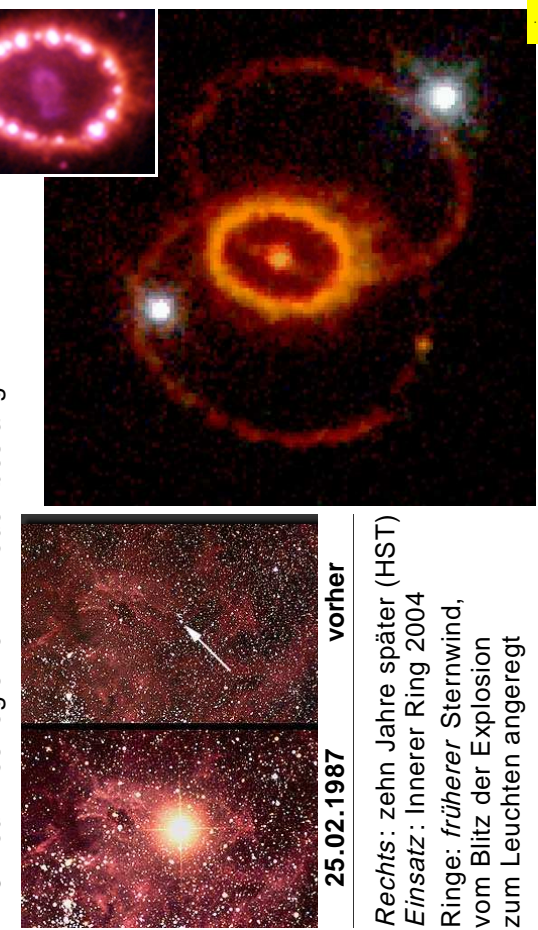
- C/O-Kern kann weitere Brennprozesse zünden
- $C, O \rightarrow Na, Ne, S, Si \rightarrow {}^{56}Fe$
- zwiebelschalenartiger Aufbau



- Fe (Eisen) kann keine Fusionsenergie liefern
- Fe-Kern über $1.4 M_{\odot}$ → Gravitationskollaps → **Neutronenstern**
- Nachstürzende Materie prallt ab → Explosion
- **Supernova** (alle Typen außer Ia)
- Sehr hoher Fluß von Neutronen
- Neutroneneinfang → r-Prozeß-Elemente
- Einziger bekannter Mechanismus zur Bildung schwerer Elemente

Supernova 1987A

- am 25. Februar 1987 - die erste „nahe“ Supernova seit Jahrhunderten
- in der Großen Magellanschen Wolke (160 000 Lichtjahre)
- 13 Neutrinos registriert → Modell bestätigt



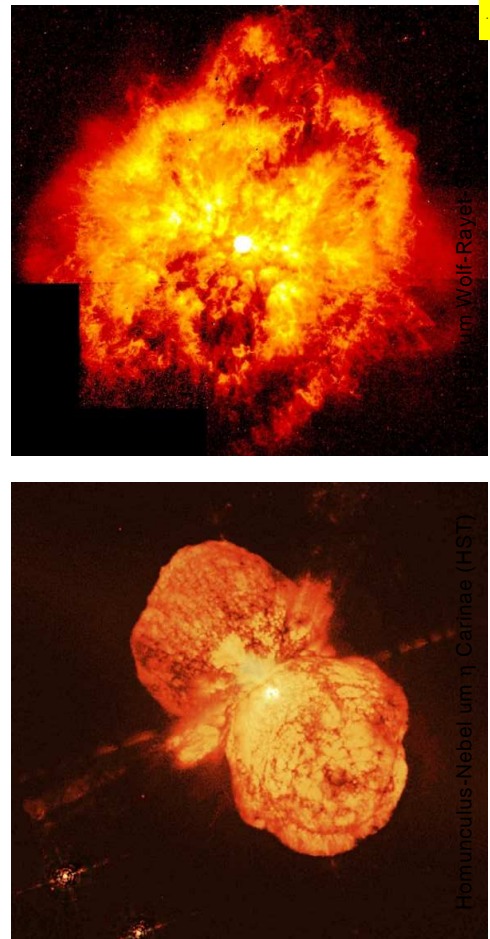
25.02.1987

vorher

Rechts: zehn Jahre später (HST)
Einsatz: Innerer Ring 2004
Ringe: früherer Sternwind,
vom Blitz der Explosion
zum Leuchten angeregt

Das dramatische Schicksal massereicher ($> 8 M_{\odot}$) Sterne

- Hohe Leuchtkraft, kurze Lebensdauer (~ 1 Million Jahre)
- Sternwinde entfernen Großteil der Masse
- Ausgeworfenes Material bildet Nebel



η Carinae (HST)